

10; 01

СЛИПИНГ-НЕУСТОЙЧИВОСТЬ ЭЛЕКТРОННОГО ПУЧКА С ПРОИЗВОЛЬНОЙ СТЕПЕНЬЮ ЗАМАГНИЧЕННОСТИ

В. Г. Лейман, М. Г. Никулин, Н. Е. Розанов

Исследована зависимость инкремента слипинг-неустойчивости нерелятивистского «холодного» электронного пучка от степени его замагниченности, характеризующей частотой вихря ω_p . Показано, что для пучка с фиксированным значением ленгмюровской частоты ω_b неустойчивость имеет максимальный инкремент при $\omega_p \approx \omega_b$ и стремится к нулю при $\omega_p \rightarrow 0$ и $\omega_p \rightarrow \infty$. Найдены ограничения на величину магнитного поля на катоде из условия снижения инкремента не менее чем в два раза по отношению к максимально возможному при заданной ленгмюровской частоте пучка.

Одной из наиболее быстроразвивающихся неустойчивостей электронного пучка, распространяющегося в вакуумной трубе дрейфа во внешнем магнитном поле, является слипинг-неустойчивость [1-3]. Ее развитие вызывает нарастание аксиально-несимметричных возмущений и может приводить к разрушению пучка как целого или изменению его микроструктуры. Слипинг-неустойчивость возможна в пучках с неоднородным радиальным распределением продольной скорости и обусловлена радиальным дрейфом электронов в скрещенных продольном внешнем магнитном поле и азимутальном электрическом поле возмущения в пучке. Причиной неоднородного распределения продольной скорости может служить провисание потенциала в нескомпенсированном по заряду пучке.

К настоящему времени подробно исследована линейная стадия слипинг-неустойчивости электронных пучков в сильном внешнем магнитном поле. В работах [1-5] неустойчивость изучена в квазиклассическом приближении, позволившем рассмотреть лишь высшие радиальные и азимутальные моды. В [5] учтены эффекты, обусловленные релятивистскими скоростями частиц. Без использования квазиклассического приближения инкременты слипинг-неустойчивости найдены в [6] для нерелятивистского пучка, а в [7] — для релятивистского, целиком заполняющего пространство дрейфа. В [8] исследована зависимость инкрементов неустойчивости от радиусов пучка и трубы дрейфа при произвольном их соотношении. В работе [9] изучена линейная стадия диокотронной и слипинг-неустойчивости в трубчатом тонкостенном электронном пучке. В [10] показано, что в пучке, инжектируемом с незамагниченного катода, продольная скорость не зависит от радиальной координаты, поэтому слипинг-неустойчивость в таком пучке не развивается [2].

Однако до сих пор не проведено исследования слипинг-неустойчивости в пучке с произвольной степенью замагниченности. Оно необходимо как для нахождения допустимой величины магнитного поля на катоде, при которой слипинг-неустойчивость не будет развиваться, так и для определения условий наиболее быстрого ее развития.

В данной работе исследуется линейная стадия слипинг-неустойчивости цилиндрического нерелятивистского «холодного» электронного пучка, целиком заполняющего вакуумную трубу дрейфа в магнитном поле произвольной величины. Исследована зависимость инкремента неустойчивости от степени замагниченности пучка.

1. Равновесное состояние пучка в магнитном поле

Рассматривается цилиндрический нерелятивистский «холодный» электронный пучок, заполняющий вакуумную трубу дрейфа радиуса R и распространяющийся вдоль оси z , совпадающей с осью трубы, во внешнем магнитном поле B_z . Равновесное состояние пучка характеризуется стационарным ($\partial/\partial t=0$), аксиально-симметричным ($\partial/\partial\theta=0$), однородным в продольном направлении ($\partial/\partial z=0$) распределением характеристик пучка и внешнего магнитного поля и описывается, согласно [10], уравнениями

$$\frac{e}{m} \frac{d\varphi_0}{dr} - \omega_c v_{\theta 0} + \frac{v_{\theta 0}^2}{r} = 0, \quad (1)$$

$$\frac{1}{r} \frac{d}{dr} r \frac{d\varphi_0}{dr} = 4\pi en_0, \quad (2)$$

$$v_{z0}^2 + v_{\theta 0}^2 = \frac{2e}{m} \varphi_0 + \text{const}, \quad (3)$$

$$\frac{P_{\theta}}{m} \equiv v_{\theta 0} r - \int_0^r \omega_c(r') r' dr' = \text{const}. \quad (4)$$

Здесь r, θ, z — цилиндрические координаты; t — время, $-e, m$ — заряд и масса электрона; $\omega_c = eB_z/mc$ — циклотронная частота; φ — потенциал электрического поля; v_r, v_{θ}, v_z — компоненты скорости пучка; P_{θ} — компонент обобщенного момента импульса частиц. Индекс «0» относится к характеристикам равновесного состояния.

Уравнение (1) описывает баланс радиальных сил, действующих на частицу, (2) — это уравнение Пуассона, (3) описывает сохранение энергии частицы, (4) — закон сохранения ее азимутального обобщенного момента импульса в аксиально-симметричной системе.

В системе (1)–(4) не учтено собственное азимутальное магнитное поле пучка, что справедливо при $v_{z0}^2 \ll c^2$, и собственное продольное магнитное поле, что возможно для пучка с током, малым по сравнению с током Альфвена [11].

В случае однородного по радиусу магнитного поля и нулевой азимутальной скорости частиц на катоде, с которого инжектируется пучок, из уравнения (4) получаем соотношение

$$v_{\theta 0} r - \frac{\omega_c r^2}{2} = -\frac{\omega_{ck} r_k^2}{2}, \quad (5)$$

в левой части которого записана величина P_{θ}/m в состоянии равновесия в трубе дрейфа, в правой — та же величина на катоде. В общем случае $\omega_{ck} \neq \omega_c$. Индекс « k » относится к величинам на катоде.

Считая распространение пучка от катода до сечения, где устанавливается равновесное состояние, ламинарным, при котором справедливо соотношение

$$\frac{r_k}{r} = \alpha = \text{const}, \quad (6)$$

получаем из (5)

$$v_{\theta 0} = \frac{\omega_c - \omega_{ck} \alpha^2}{2} r. \quad (7)$$

Из (7) следует, что в равновесии пучок вращается как целое с независящей от радиуса угловой скоростью $v_{\theta 0}/r$ (равновесие типа «жесткого ротатора» [11]).

Используя (7), находим из (1) и (2), что пучок имеет в равновесии однородную по радиусу плотность n_0 и квадратичное распределение потенциала

$$\varphi_0(r) = \pi en_0 r^2 + \varphi_0(0). \quad (8)$$

Выразим через равновесные параметры пучка его угловую скорость ω_e , соответствующую физически более реальному для транспортировки случаю

медленного дрейфового вращения пучка, азимутальный обобщенный момент импульса электрона на катоде $P_{\theta k}$ и продольную скорость пучка v_{z0}

$$\omega_e \equiv \frac{v_{\theta 0}}{r} = \frac{1}{2} (\omega_c - \sqrt{\omega_c^2 - 2\omega_b^2}), \quad (9)$$

$$\frac{P_{\theta k}}{m} \equiv -\omega_{ck} \frac{r_k^2}{2} = -\frac{1}{2} \sqrt{\omega_c^2 - 2\omega_b^2} r^2, \quad (10)$$

$$v_{z0} = \sqrt{v_0^2 + \left(\frac{1}{2} \omega_b^2 - \omega_e^2\right) r^2}, \quad (11)$$

где $\omega_b = \sqrt{4\pi e^2 n_0 / m}$ — ленгмюровская частота пучка, $v_0 = v_{z0}(0)$.
При условии

$$v_{z0}^2 \approx v_0^2 \gg \left| \frac{\omega_b^2}{2} - \omega_e^2 \right| r^2 \quad (12)$$

находим «шир» продольной скорости пучка

$$r'_{z0} \equiv \frac{dv_{z0}}{dr} = \frac{\omega_b^2 - 2\omega_e^2}{2v_0} r. \quad (13)$$

Удобной величиной при дальнейших выкладках будет частота вихря (см., например, [11])

$$\omega_v \equiv \sqrt{\omega_c^2 - 2\omega_b^2}. \quad (14)$$

Она характеризует превышение магнитного поля над минимально возможным для удержания пучка с заданной ленгмюровской частотой в равновесии ($B_{z \min} = \frac{mc}{e} \omega_{c \min}$, $\omega_{c \min} = \sqrt{2} \omega_b$), а также степень замагниченности пучка и катода. При $\omega_v = 0$ пучок является бриллюэновским ($\omega_c = \omega_{c \min}$), а катод — незамагниченным ($P_{\theta k} = 0$).

Зависимость «шира» скорости от частоты вихря имеет вид

$$v'_{z0} = \frac{\omega_v (\sqrt{\omega_b^2 + 2\omega_b^2} - \omega_v)}{2v_0} r. \quad (15)$$

При $\omega_v \ll \sqrt{2} \omega_b$ $v'_{z0} \approx \sqrt{2} \omega_v \omega_b r / 2v_0$, а при $\omega_v^2 \gg 2\omega_b^2$ $v'_{z0} \approx \omega_b^2 r / 2v_0$.

2. Вывод и решение дисперсионного уравнения

Исследуем устойчивость найденного равновесного состояния по отношению к малым возмущениям вида $f(r) \exp [i(\omega t - k_z z + l\theta)]$, где ω , k_z , l — частота, продольное волновое число и номер азимутальной моды возмущения.

Используя линеаризованные гидродинамические уравнения для пучка, а также уравнение Пуассона и вводя обозначение

$$\omega_d \equiv \omega + l\omega_e - k_z v_{z0}(r), \quad (16)$$

для комплексной амплитуды возмущения потенциала $\varphi(r)$ получаем уравнение (см. также [4])

$$\begin{aligned} & \left(1 - \frac{\omega_b^2}{\omega_d^2 - \omega_e^2}\right) \left(\frac{1}{r} \frac{d}{dr} r \frac{d\varphi}{dr} - \frac{l^2}{r^2} \varphi\right) - k_z^2 \left(1 - \frac{\omega_b^2}{\omega_d^2}\right) \varphi - \\ & - \frac{k_z r v'_{z0} \omega_b^2}{\omega_d (\omega_d^2 - \omega_e^2)} \left[\frac{2\omega_d^2}{\omega_d^2 - \omega_e^2} \frac{1}{r} \frac{d\varphi}{dr} - \frac{l\varphi}{r} \frac{\omega_v}{\omega_d} \left(1 + \frac{2\omega_d^2}{\omega_d^2 - \omega_e^2}\right) \right] = 0, \end{aligned} \quad (17)$$

где r'_{z0} определяется формулой (15).

Пренебрежем в (17) зависимостью ω_d от r , т. е. положим, что

$$\omega_d(r) \approx \omega_d(0) \equiv \omega + l\omega_e - k_z v_0. \quad (18)$$

Тогда при выполнении условия

$$\left| 1 - \frac{\omega_b^2}{\omega_d^2 - \omega_v^2} \right| \gg \frac{2k_x r v'_{x0} \omega_b^2 \omega_d}{(\omega_d^2 - \omega_v^2)^2} \quad (19)$$

уравнение (17) является уравнением Бесселя. Его решения, ограниченные на оси $r=0$, записываются в виде

$$\varphi(r) = A J_l(Sr), \quad (20)$$

где A — произвольная постоянная, J_l — функция Бесселя первого рода порядка l , а

$$S = \left[\frac{\omega_b^2}{\omega_d^2 - \omega_v^2} \frac{\omega_v l k_x v'_{x0}}{\omega_d^2 r} \left(1 + \frac{2\omega_d^2}{\omega_d^2 - \omega_v^2} \right) - k_x^2 \left(1 - \frac{\omega_b^2}{\omega_d^2} \right) \right]^{1/2}. \quad (21)$$

Дисперсионное уравнение получается из условия равенства нулю потенциала на поверхности трубы дрейфа $\varphi(R) = 0$

$$S^2 R^2 = \mu_{nl}^2, \quad (22)$$

где μ_{nl} — n -й корень функции Бесселя $J_l(\mu_{nl}) = 0$.

Определив поперечное волновое число соотношением

$$k_{\perp} \equiv \frac{\mu_{nl}}{R}, \quad (23)$$

перепишем дисперсионное уравнение следующим образом:

$$\frac{k_{\perp}^2}{k_{\perp}^2 + k_x^2} \frac{\omega_b^2}{\omega_d^2 - \omega_v^2} + \frac{k_x^2}{k_{\perp}^2 + k_x^2} \frac{\omega_b^2}{\omega_d^2} + \frac{\omega_b^2}{\omega_d^2 - \omega_v^2} \frac{l k_x \omega_v v'_{x0}}{r \omega_d^2 (k_{\perp}^2 + k_x^2)} \left(1 + \frac{2\omega_d^2}{\omega_d^2 - \omega_v^2} \right) = 1. \quad (24)$$

Его решения в случае $v'_{x0} = 0$ приведены в [11], а решения, описывающие сплинг-неустойчивость сильнозамагниченного пучка с $\omega_b^2 \ll \omega_v^2 \approx \omega_d^2$ при $v'_{x0} \neq 0$, найдены в [2-8].

Изучим сплинг-неустойчивость электронного пучка при произвольной степени замагниченности, т. е. при $0 \leq \omega_p / \omega_b < \infty$. Решение дисперсионного уравнения (24) в пределе низких частот

$$\omega_d^2 \ll \omega_v^2 \quad (25)$$

имеет вид

$$\omega_d = \frac{k_x \omega_b \omega_v}{\sqrt{k_x^2 \omega_v^2 + k_{\perp}^2 (\omega_v^2 + \omega_b^2)}} \sqrt{1 - \frac{l v'_{x0}}{k_x \omega_v r}}. \quad (26)$$

Из (26) следует, что неустойчивыми являются колебания с волновыми числами, лежащими в диапазонах

$$0 < k_x < \frac{l v'_{x0}}{\omega_v r} \equiv 2k_{x1}, \quad k_{x1} > 0; \quad 2k_{x1} < k_x < 0, \quad k_{x1} < 0. \quad (27)$$

В случае

$$\left(\frac{l}{\mu_{nl}} \frac{\omega_b R}{4v_0} \right)^2 \frac{\omega_b^2}{\omega_b^2 + \omega_v^2} \ll 1 \quad (28)$$

неустойчивые колебания являются квазипродольными: для них $k_x^2 \ll k_{\perp}^2$.

При $k_x = k_{x1}$ неустойчивость имеет максимальный временной инкремент

$$\omega_{IM} = \frac{l \omega_b \omega_v}{4k_{\perp} v_0} \frac{(\sqrt{2\omega_b^2 + \omega_v^2} - \omega_v)}{\sqrt{\omega_b^2 + \omega_v^2}}. \quad (29)$$

В пределе $\omega_p \ll \omega_b$ для инкремента справедлива формула

$$\omega_{IM} \approx \frac{\sqrt{2} l \omega_b \omega_v}{4k_{\perp} v_0}, \quad (30)$$

при $\omega_v^2 \gg 2\omega_b^2$ выражение для инкремента принимает вид

$$\omega_{IM} \approx \frac{l\omega_b^3}{4k_{\perp}v_0\omega_v}. \quad (31)$$

Максимизированное по ω_v значение ω_{IM} равно

$$\omega_{IM}^{\max} \approx \frac{l\omega_b^2}{8k_{\perp}v_0} \quad (32)$$

и достигается вблизи $\omega_v = \omega_b$, т. е. когда $\omega_c \approx \sqrt{3}\omega_b$. График зависимости инкремента (29) от ω_v для $\omega_b = \text{const}$ показан на рисунке. Видно, что зависимость $\omega_{IM}(\omega_v)$ очень резкая, особенно в области $\omega_v \ll \omega_b$. Соответственно инкремент нарастает от нуля до максимального значения при изменении ω_v всего в 1.2 раза.

Из рисунка следует, что для снижения инкремента в два раза по отношению к максимальному (что условно можно считать критерием подавления сплинг-неустойчивости) требуется ω_v уменьшить до величины $\omega_b/5$ или увеличить до $4\omega_b$. Используя определение (14) и уравнение (10), перепишем эти условия в виде

$$\omega_{ск} \leq \left(\frac{R_0}{R_k}\right)^2 \frac{\omega_b}{5} \quad \text{или} \quad \omega_{ск} \geq \left(\frac{R_0}{R_k}\right)^2 4\omega_b, \quad (33)$$

где R_k и R_0 — радиусы пучка на катоде и в равновесии соответственно.

При фиксированном значении частоты вихря ω_v инкремент (29) монотонно растет с увеличением ленгмюровской частоты пучка ω_b : для $2\omega_b^2 \ll \omega_v^2$ — по закону (31), для $\omega_b \gg \omega_v$ — по закону (30).

Частота наиболее неустойчивых волн определяется соотношением

$$\omega_{RE} = k_{x1}v_0 - l\omega_s \quad (34)$$

и примерно равна $-l\omega_b \sqrt{2}/4$ при $\omega_v \ll \sqrt{2}\omega_b$ и $-l\omega_b^2/4\omega_v$ при $\omega_v^2 \gg 2\omega_b^2$. Максимальный пространственный инкремент k_{IM} связан с временным инкрементом (29) простым соотношением

$$k_{IM} = \frac{\omega_{IM}}{v_0} \quad (35)$$

и достигается на частоте, определяемой равенством

$$\omega + l\omega_s = \omega_1 \equiv k_{x1}v_0. \quad (36)$$

Действительная часть продольного волнового числа k_{RE} наиболее неустойчивой волны равна k_{x1} . Неустойчивость развивается в диапазонах частот

$$\frac{k_{x1}v_0}{2} \left(\frac{\omega_b}{k_{\perp}v_0}\right)^2 \equiv \omega_{\min} < \omega + l\omega_s < 2\omega_1, \quad k_{x1} > 0; \\ 2\omega_1 < \omega + l\omega_s < \omega_{\min}, \quad k_{x1} < 0. \quad (37)$$

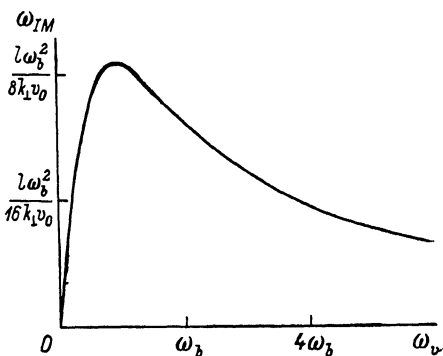
Зависимости величин k_{IM} и k_{RE} от значений ω_v и ω_b , как следует из (35) — (37), аналогичны зависимостям ω_{IM} и ω_{RE} от ω_v и ω_b (см. (29), (34)).

Из выражений (29), (23) следует, что наибольшим инкрементом среди радиальных мод обладает низшая радиальная мода $n=1$.

Уточним теперь сделанные предположения с учетом полученных результатов.

Условие (18) пренебрежения зависимостью ω_d от r

$$|\omega_d(r)| = |\omega_{RE} \pm i\omega_{IM} + l\omega_s - k_x v_{x0}(r)| \approx |\omega_d(0)| = |\omega_{RE} \pm i\omega_{IM} + l\omega_s - k_x v_0| \quad (38)$$



$$|\omega_d(0)| \gg |k_z(v_{z0}(r) - v_0)| \approx |k_z v'_{z0} r|. \quad (39)$$

Подставляя в (39) вместо $\omega_d(0)$ значение $\omega_I(26)$, получаем при $k_z = k_{z1}$ и $r = R$ с учетом (28), (15)

$$\mu_{nl} \frac{\omega_b R}{v_0} \ll 1. \quad (40)$$

Неравенство (19) с учетом (25) принимает вид

$$|2\omega_d k_z r v'_{z0}| \ll \frac{\omega_b^2 + \omega_v^2}{\omega_b^2} \omega_b^2 \quad (41)$$

и удовлетворяется при

$$\frac{l^2}{\mu_{nl}} \left(\frac{\omega_b R}{v_0} \frac{\omega_b^2}{\omega_b^2 + \omega_v^2} \right)^3 \ll 1. \quad (42)$$

Условие (25) низкочастотности процесса в случае $k_z = k_{z1}$ имеет вид

$$\frac{k_{z1}^2}{k_{\perp}^2} \frac{\omega_b^2}{\omega_b^2 + \omega_v^2} \ll 1 \quad (43)$$

и заведомо справедливо для квазипродольных колебаний с $k_{z1}^2 \ll k_{\perp}^2$, т. е. при выполнении неравенства (28).

Условие (12) после подстановки в него определения (9) и нахождения максимума правой части сводится к виду

$$\frac{1}{2} \left(\frac{\omega_b R}{v_0} \right)^2 \ll 1. \quad (44)$$

Сравнение неравенств (40)–(44) и (28) показывает, что достаточным условием их одновременного выполнения является соотношение (40).

Заключение

В работе исследовано влияние степени замагниченности нерелятивистского «холодного» электронного пучка на инкремент слипинг-неустойчивости, обусловленной неоднородным радиальным распределением его продольной скорости.

Показано, что инкремент неустойчивости пучка с фиксированной ленгмюровской частотой ω_b имеет максимум при значении частоты вихря $\omega_v \equiv \sqrt{\omega_c^2 - 2\omega_b^2}$, лежащем вблизи ω_b , т. е. при $\omega_c \approx \sqrt{3} \omega_b$. В пределе $\omega_v \rightarrow 0$ инкремент неустойчивости стремится к нулю пропорционально ω_v . При $\omega_v \rightarrow \infty$ инкремент уменьшается как ω_v^{-1} .

Если фиксировано значение частоты вихря ω_v , то инкремент неустойчивости монотонно растет с увеличением ленгмюровской частоты пучка ω_b пропорционально ω_b^3 в случае $2\omega_b^2 \ll \omega_v^2$ и пропорционально ω_b в случае $\omega_b \gg \omega_v$.

Сформулированы ограничения на допустимую величину магнитного поля на катоде. Для снижения инкремента слипинг-неустойчивости не менее чем в 2 раза по отношению к максимально возможному в пучке с заданной ленгмюровской частотой ω_b величина магнитного поля на катоде должна удовлетворять ограничениям, вытекающим из формул (33).

Литература

- [1] Михайловский А. Б., Рухадзе А. А. // ЖТФ. 1965. Т. 35. Вып. 12. С. 2143–2149.
- [2] Лейман В. Г. // Электронная техника. Сер. 1. Электроника СВЧ. 1969. Вып. 5. С. 16–25.
- [3] Rome J. A., Briggs R. J. // Phys. Fluids. 1972. Vol. 15. N 5. P. 796–804.

- [4] *Гладун А. Д., Лейман В. Г.* // ЖТФ. 1970. Т. 40. Вып. 12. С. 2513—2517.
[5] *Карбушев Н. И., Удовиченко С. Ю.* // ЖТФ. 1983. Т. 53. Вып. 9. С. 1706—1709.
[6] *Желязков И. И., Рухадзе А. А.* // ЖТФ. 1970. Т. 40. Вып. 2. С. 259—264.
[7] *Карбушев Н. И., Рухадзе А. А., Удовиченко С. Ю.* // Кр. сообщ. по физике. М., 1984. Вып. 10. С. 26—29.
[8] *Никулин М. Г., Розанов Н. Е.* // ЖТФ. 1986. Т. 56. Вып. 10. С. 2065—2069.
[9] *Mostrom M. A., Jones M. E.* // Phys. Fluids. 1983. Vol. 26. N 6. P. 1649—1658.
[10] *Reiser M.* // Phys. Fluids. 1977. Vol. 20. N 3. P. 477—486.
[11] *Девидсон Р.* Теория заряженной плазмы. М.: Мир, 1978. 46 с.

Поступило в Редакцию
2 ноября 1987 г.

В окончательной редакции
3 февраля 1988 г.
